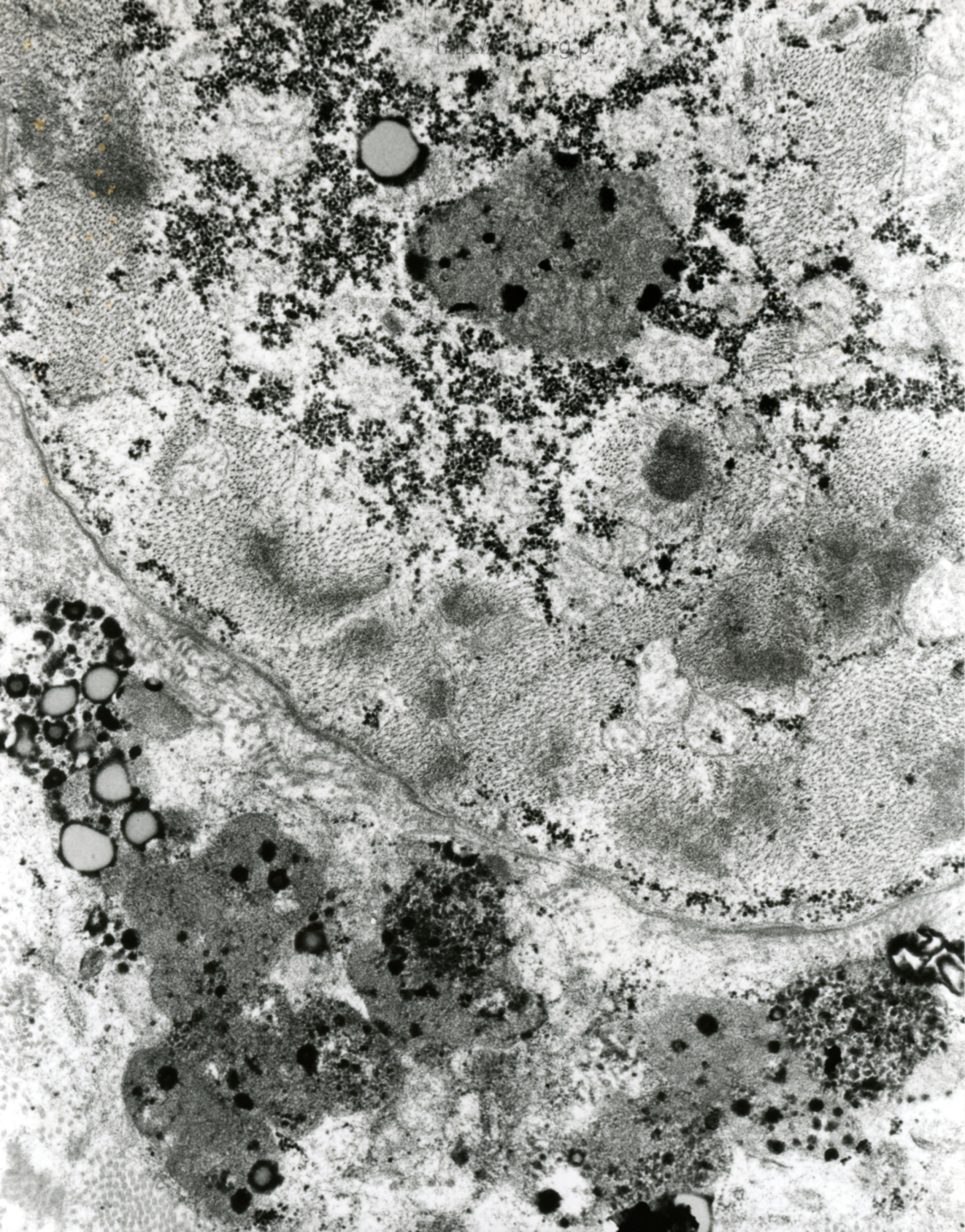


AF 21/84 /ser
428865 RA AKU IX2500 24

Fig. 1

AF 21/04/serce
4B8799 80.0KV 1X4000 25

Fig. 2



MF 21/04/ /ser
400066 00.0VU +Y7500 100

Fig. 3

AF 21/04/serce
400000 80.0KV $\times 6000$ IP

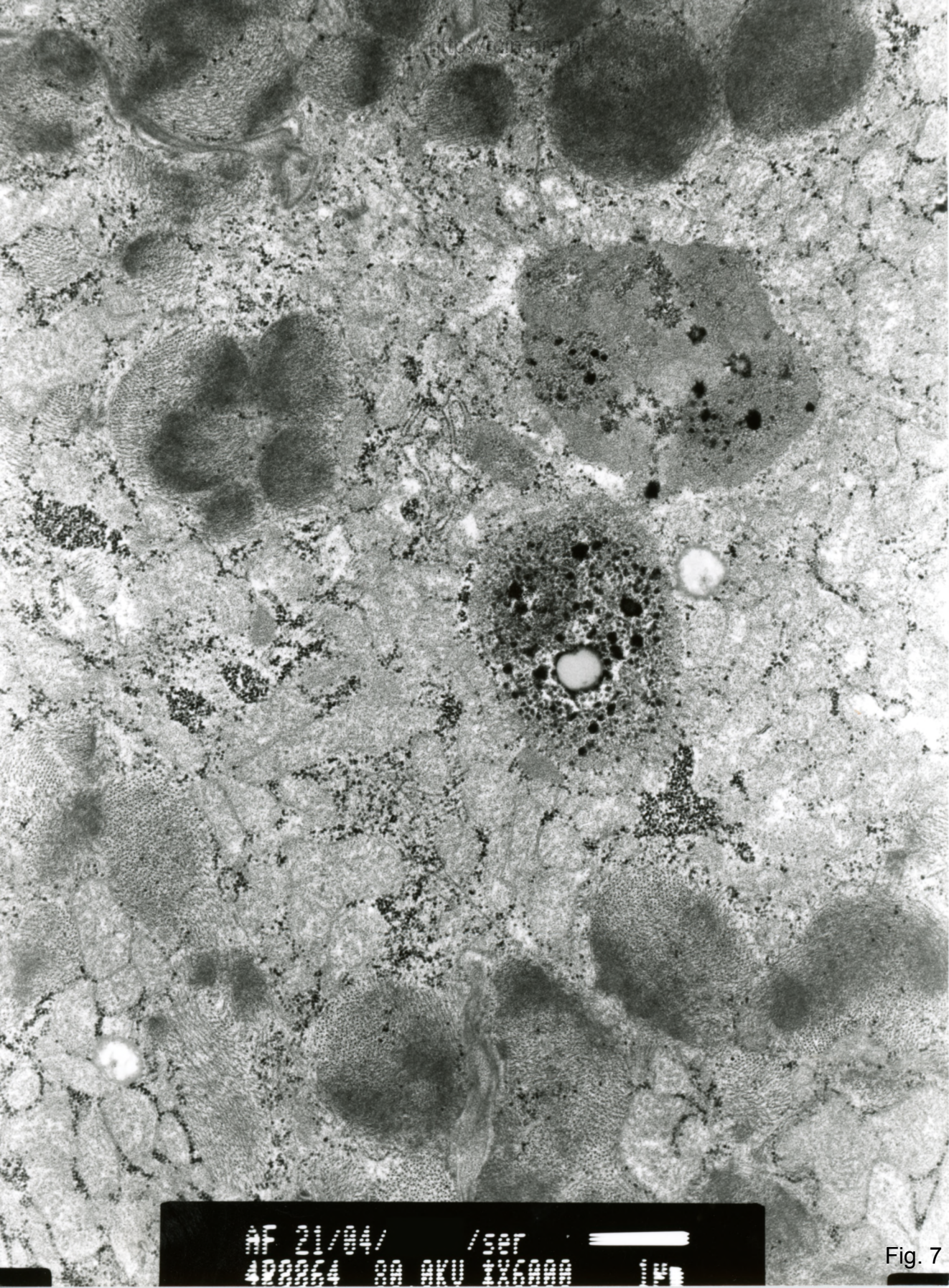
Fig. 4

AF 21/04/ /ser
4B2261 80.0KV 1x5000 1μm

Fig. 5

AF 21/84/ /ser =
428867 80.0KV ± X15K 500nm

Fig. 6



AF 21/04/ /ser
420054 88 AKU IX6000 1P

Fig. 7

AF 21/84/serce
40979c 90.0KU 1x5000

1B

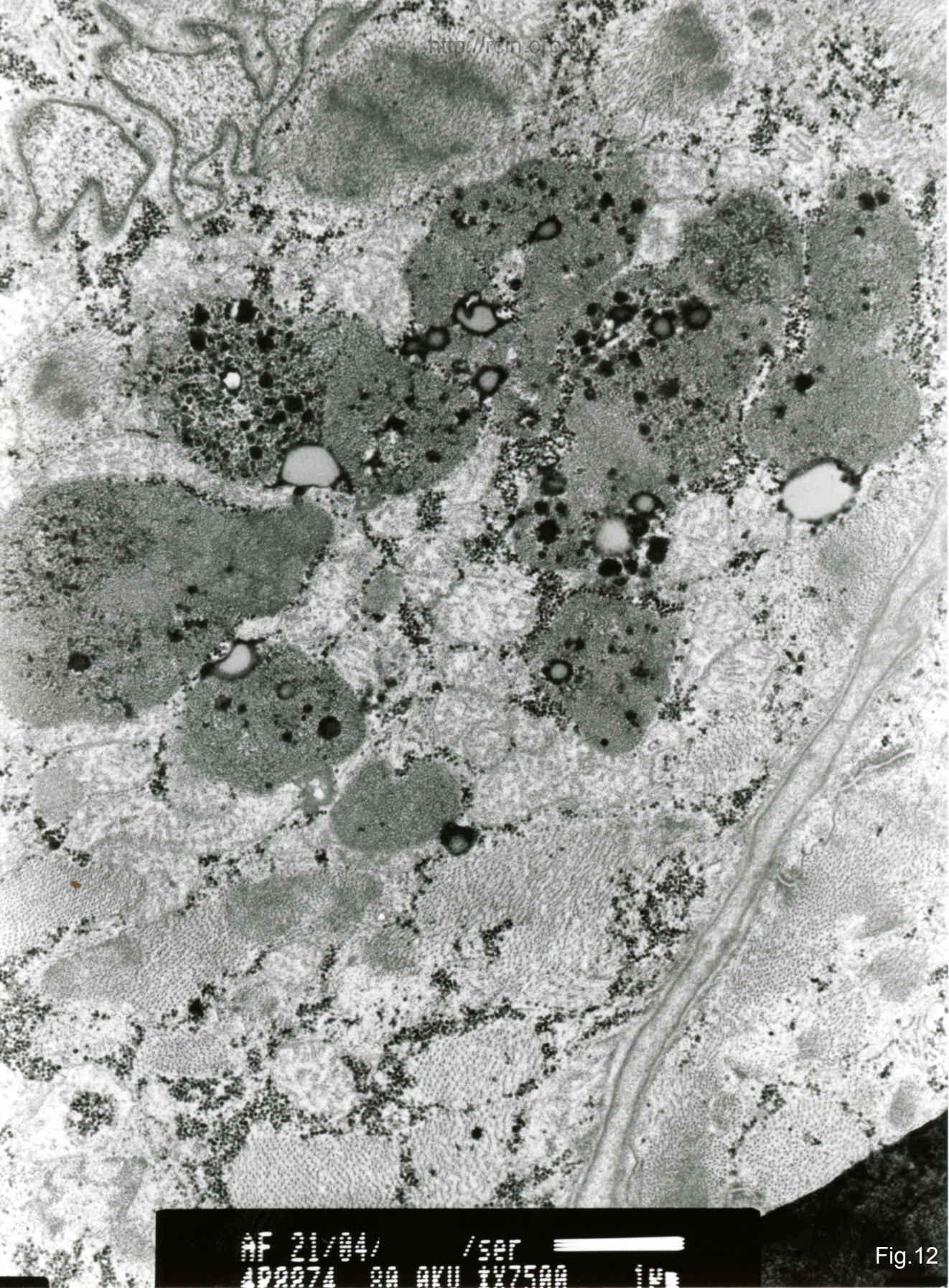
Fig. 8

AF 21/84/serce
4B8768 80.0KV 1X7500 1M

AF 21/04/serce
4B8767 88 AKU IX7500 1P

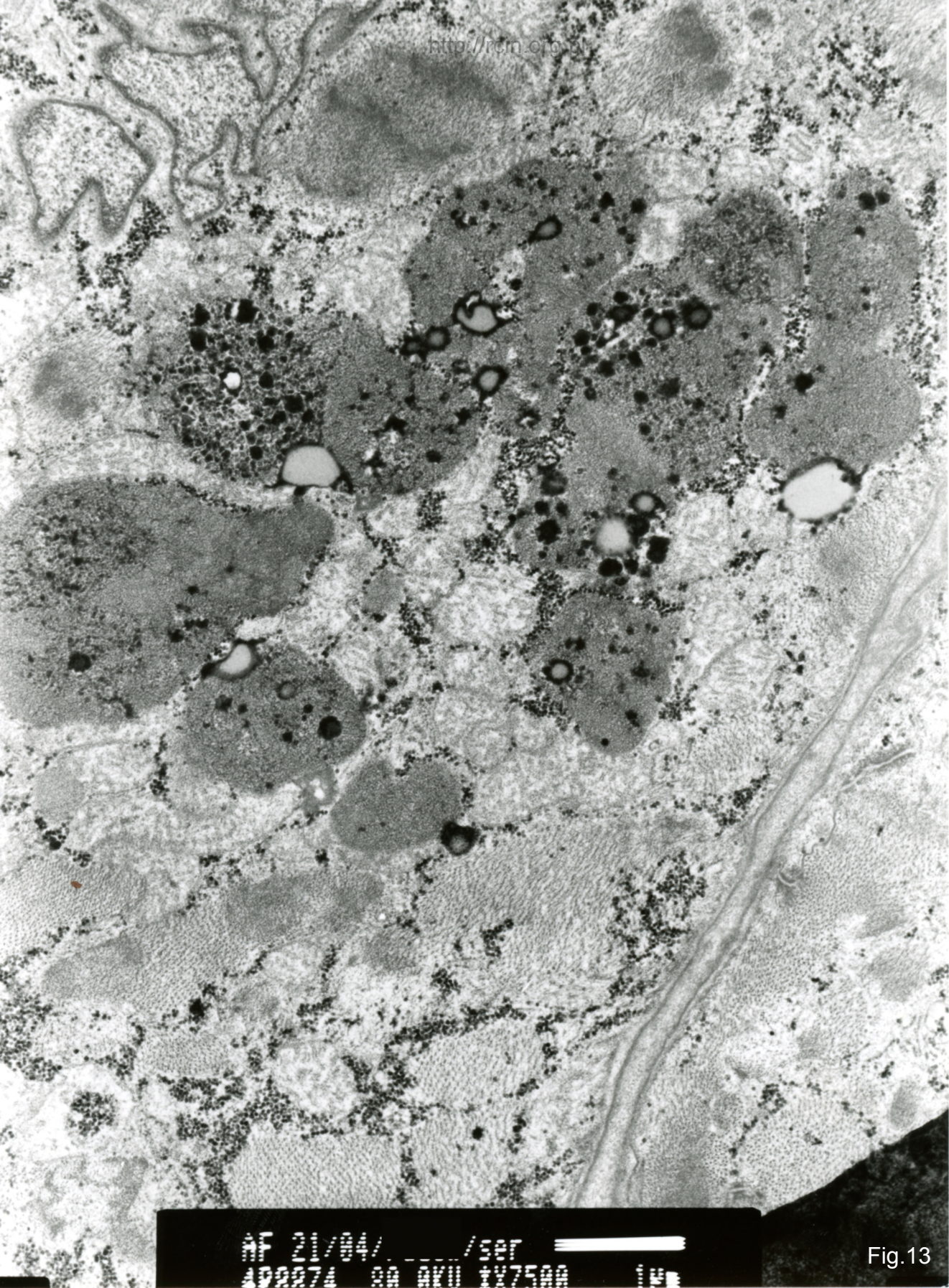
Fig.10

AF 21/04/serce
4R8769 88 AKU 1x7500 1P



AF 21/84 /ser
AP2274 88 AKU TX7500 10⁵

Fig.12



AF 21/04/ /ser
AP2274 88 AKU TX7500 10⁶

Fig.13



AF 21/04/ /ser
4P88Z1 80 AKU ± X15K 500nm

Fig.14

AF 21/04/serce
499798 98 AKU tx7500 1P

Fig.15

AF 21/04/ /ser
428873 8A AKU 1x5000 15µ

Fig.16

21/04

1. 61

Kardiomiopatia

Analiza ultrastrukturalna wykazała nieregularny przebieg miofibrylli i dezorganizację sarkomerów (Fig. 1,2,3). Sarkoplazmę wypełniały licznie mitochondria o zatarnej strukturze (Fig. 4-12) oraz lipofuscyny i lisosomy (Fig. 13,14). Połączenie między sąsiadującymi kardiomiocytami (dyski interkalarne) były znacznie poszerzone (Fig. 15). W poszerzonej przestrzeni zewnętrzkomórkowej licznie występowały włókienka kolagenu (Fig. 16).

Cardiomyopathy

Ultrastructural analysis revealed irregular myofibrils arrangement and sarcomere disorganization (Figs. 1,2,3). Numerous mitochondria characterized by blurred structure (Figs. 4-12) as well as lipofuscin deposits and lysosomes (Figs. 13,14) were observed in the sarcoplasm. The junctions between adjacent cardiomyocytes (intercalary discs) were significantly dilated (Fig. 15). Abundant collagen fibrils were seen in the expanded extracellular space (Fig. 16).